

## Литература

- [1] А. С. Сонин, И. С. Желудев. Кристаллография, 7, 285, 1963.  
 [2] А. Н. Винчелл, Г. В. Винчелл. Оптические свойства искусственных минералов. Изд. «Мир», М., 1967.  
 [3] У. Мэзон. Пьезоэлектрические кристаллы и их применение в ультраакустике. ИЛ, М., 1952.  
 [4] А. С. Васильевская, Л. И. Кузнецова, И. С. Рез, А. С. Сонин. ФТТ, 10, 928, 1968.

Поступило в Редакцию 15 июня 1970 г.

УДК 535.34 : 548.0

## ПОЛЯРИЗАЦИОННОЕ СМЕЩЕНИЕ КРАЯ ПОГЛОЩЕНИЯ В $\text{Ag}_3\text{SbS}_3$

Я. О. Довгий, В. Н. Королышин, Е. Г. Мороз и В. В. Туркевич

Недавно [1] нами определены параметры оптических межзонных переходов в новосинтезированном полупроводниковом кристалле  $\text{Ag}_3\text{SbS}_3$  (шиаргирит). Этот материал перспективен для квантовой электроники и инфракрасной оптики [2]. В данной работе на основе поляризационных измерений в области края и в ИК области предложена упрощенная зонная модель  $\text{Ag}_3\text{SbS}_3$  в окрестности Г-точки и определены соответствующие правила отбора.

На рис. 1 в координатах  $\alpha^2 - h\nu$  показаны кривые поглощения  $\text{Ag}_3\text{SbS}_3$  в области фундаментальной полосы для обыкновенного ( $E \perp C$ ) и необыкновенного ( $E \parallel C$ ) лучей при 300, 200, 77 и  $4.2^\circ$  К. Линейные отрезки в диапазоне больших значений  $\alpha$  ( $0.3 \cdot 10^3 \div 0.7 \cdot 10^3 \text{ см}^{-1}$ ) соответствуют прямым межзонным переходам. Отчетливо видно поляризационное смещение края. Величина этого смещения  $\Delta_p$  в температурном интервале  $77 \div 300^\circ$  К почти постоянная и в среднем равна 0.08 эв (см. таблицу).

T, °К	$E_g, \text{ эв}$		$\Delta_p$
	$E \parallel C$	$E \perp C$	
300	2.096	2.022	0.074
200	2.129	2.052	0.077
77	2.172	2.077	0.095
4.2	2.328	2.171	0.157

Резкий скачок  $E_g$ , а также  $\Delta_p$  при  $4.2^\circ$  К обусловлены, как мы предполагаем, фазовым переходом 1-го рода [3]. Точка фазового перехода (условно обозначим ее  $T_c$ ) не установлена. Поскольку симметрия новой низкотемпературной фазы неизвестна, будем рассматривать лишь область  $T > T_c$ . Поляризационное смещение края собственного поглощения можно связать с расщеплением валентной зоны. Последнее обусловлено спин-орбитальным взаимодействием и влиянием несимметричной компоненты кристаллического поля. Сопоставление  $\Delta_p$  в  $\text{Ag}_3\text{SbS}_3$  и  $\text{Ag}_3\text{AsS}_3$ , которые изоморфны, наводит на мысль, что  $\Delta_p \approx \Delta_{\text{с.-о.}}^1$ . И действительно, для Sb  $\Delta_{\text{с.-о.}} = 0.80$  эв, а для As  $\Delta_{\text{с.-о.}} = 0.29$  эв [4].

Исходя из кейновского закона дисперсии [5], мы по величинам  $\Delta_p \approx \Delta_{\text{с.-о.}}$  и  $E_g$  определили  $m_e(\Gamma_{6c})$

$$m_e/m = \left[ 1 + \frac{20}{3} \left( \frac{2}{E_g} + \frac{1}{E_g + \Delta_p} \right) \right]^{-1} \approx 0.1.$$

Симметрия  $\text{Ag}_3\text{SbS}_3$  описывается группой  $C_{3v}^6$  [6]. Первая зона Бриллюэна аналогочна приведенной в [3] для  $\text{Ag}_3\text{AsS}_3$ . Чтобы согласовать правила отбора для зона-зонных переходов с направлением наблюдаемого поляризационного смещения, следует выбрать порядок расположения зон, показанный на рис. 2. При этом величина  $\Delta_p$  соответствует энергетическому зазору между подзонами  $\Gamma_6$  и  $\{\Gamma_4, \Gamma_5\}$ . Согласно правилам отбора, переход между этими подзонами должен быть поляризован. Любопытно было провести измерения в инфракрасной области.

<sup>1</sup> Для  $\text{Ag}_3\text{AsS}_3$   $\Delta_p = 0.037$  [3], т. е.  $\Delta_p^{\text{Ag}_3\text{SbS}_3} > \Delta_p^{\text{Ag}_3\text{AsS}_3}$ .

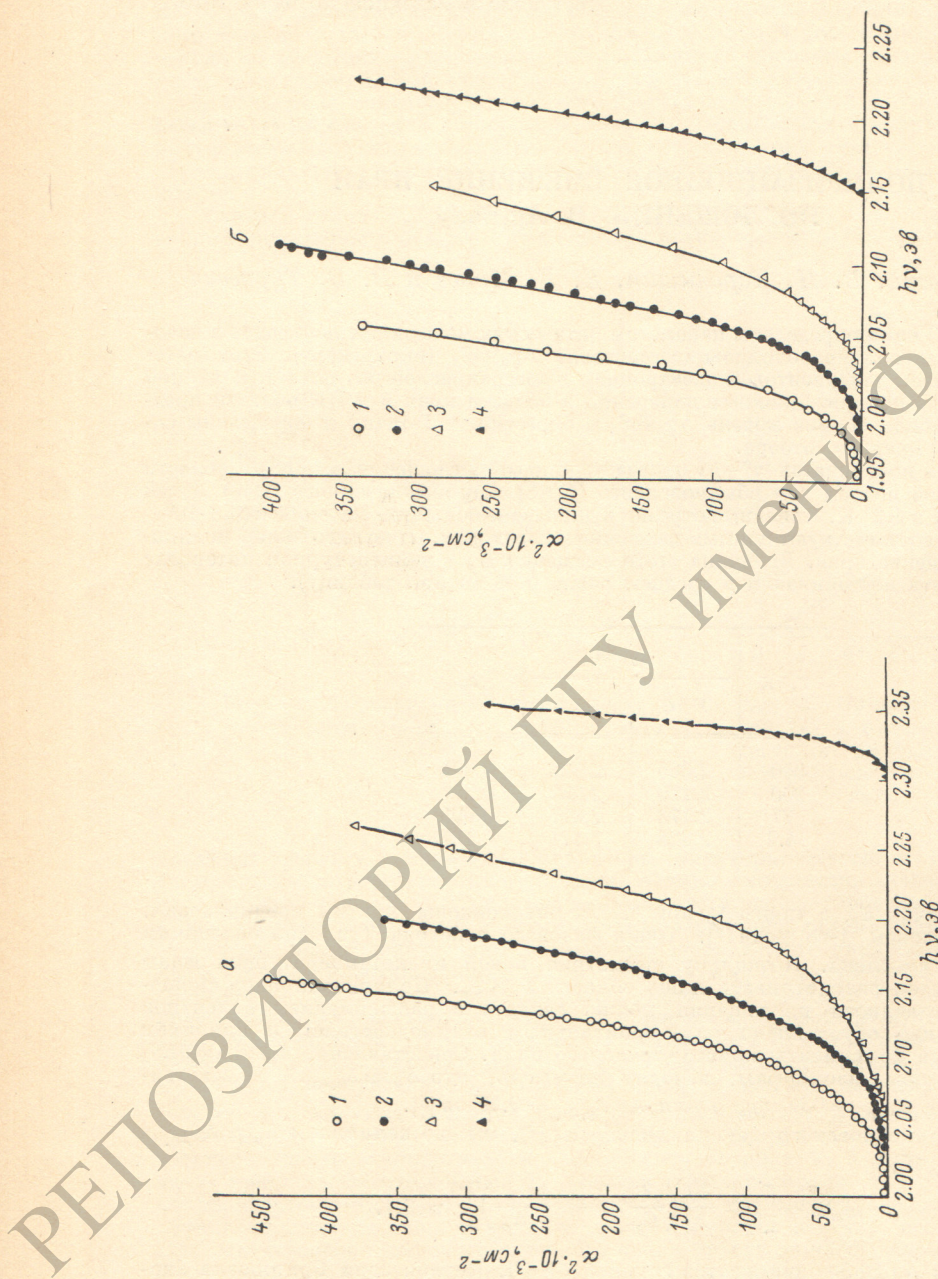


Рис. 4. Поглощение света кристаллами  $\text{Ag}_3\text{SbS}_3$  при двух направлениях поляризации:  $E \parallel C(a)$  и  $E \perp C(a)$ .

$T, \text{ K}: 1 - 300, 2 - 200, 3 - 77, 4 - 4.2.$

- [1] Я. О. 15
- [2] Л. М. 22
- [3] Я. О. Ф
- [4] О. В.
- [5] Е. О.
- [6] Д. Н.
- [7] Н. Г.

По  
 обладае  
 действи  
 вался л  
 переходе  
 сообще  
 жиме с  
 Ос  
 лазера

Спектр ИК поглощения измерялся при 300° К на монокристаллическом образце  $\text{Ag}_3\text{SbS}_3$  *p*-типа [7] толщиной 124 мкм. Использовался спектрометр ИКС-14. На пути обоих лучей размещались идентичные одинаково ориентированные поляризаторы

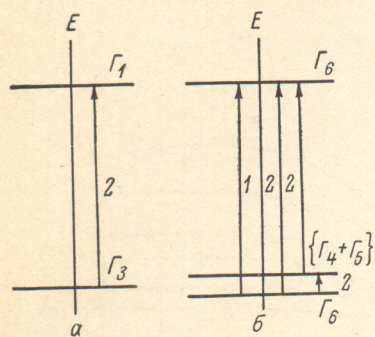


Рис. 2. Схема энергетических зон  $\text{Ag}_3\text{SbS}_3$  в точке  $\Gamma$ .

*a* — без учета спина, *b* — с учетом спина; 1 — переход при  $E \parallel C$ , 2 — переход при  $E \perp C$ .

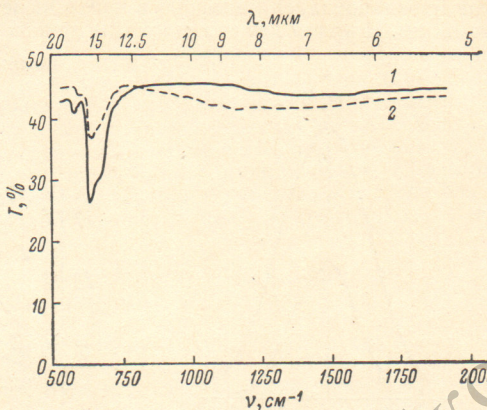


Рис. 3. Поглощение  $\text{Ag}_3\text{SbS}_3$  в ИК области.

1 —  $E \perp C$ , 2 —  $E \parallel C$ .

типа ИПП-12. Записи пропускания при двух ориентациях поляризатора приведены на рис. 3. Итак, схема рис. 2 подтвердилась. Действительно, расположение полосы соответствует  $\Delta_p$ , она поляризована и знак поляризации соответствует правилам отбора. Частичное остаточное поглощение при  $E \parallel C$ , по-видимому, связано с неточной установкой поляризатора.<sup>2</sup>

#### Литература

- [1] Я. О. Довгий, В. Н. Королышин, Е. Г. Мороз. Кристаллография, 15, 1970.
- [2] Л. М. Гусева, И. Г. Ганеев, А. В. Дронов, И. С. Рез. Опт. и спектр., 24, 298, 1968.
- [3] Я. О. Довгий, Н. И. Буцко, В. Н. Королышин, Е. Г. Мороз. ФТТ, 13, 1202, 1971.
- [4] О. Маделунг. Физика полупроводниковых соединений элементов III и V групп. Изд. «Мир», М., 1967.
- [5] Е. О. Капе. J. Phys. Chem. Solids, 1, 249, 1957.
- [6] Д. Наркег. J. Chem. Phys., 4, 381, 1937.
- [7] Н. И. Буцко. Укр. фіз. ж., 9, 686, 1964.

Поступило в Редакцию 7 сентября 1970 г.

УДК 621.373 : 535

## ВЗАИМОДЕЙСТВИЕ ПЕРЕХОДОВ $3s_2 - 2p_4$ И $3s_2 - 3p_4$ НЕОНА В РЕЖИМЕ БЕГУЩЕЙ ВОЛНЫ

И. П. Мазанько и Г. А. Петрашко

По отношению к излучению с длиной волны  $\lambda=0.63$  мкм неон-гелиевая смесь обладает малым усилением ( $0.1-0.15 \text{ м}^{-1}$ ), поэтому для надежного наблюдения взаимодействия переходов  $3s_2 - 2p_4$  (0.63 мкм) и  $3s_2 - 3p_4$  (3.39 мкм) неона обычно использовался лазер, работающий либо одновременно на обоих переходах, либо только на переходе  $3s_2 - 2p_4$  и подсвечиваемый извне излучением с  $\lambda=3.39$  мкм [1-3]. В настоящем сообщении приводятся некоторые результаты исследования этого взаимодействия в режиме бегущей волны.

Основу экспериментальной установки составили два однотипных одномодовых лазера, один из которых работал в области 0.63 мкм, а другой — 3.39 мкм. Выходные

<sup>2</sup> Ориентировка производилась визуально (видимая область) по погасанию.